



МИНИСТЕРСТВО НАУКИ И ВЫСШЕГО ОБРАЗОВАНИЯ РОССИЙСКОЙ ФЕДЕРАЦИИ

ФЕДЕРАЛЬНОЕ ГОСУДАРСТВЕННОЕ БЮДЖЕТНОЕ ОБРАЗОВАТЕЛЬНОЕ
УЧРЕЖДЕНИЕ ВЫСШЕГО ОБРАЗОВАНИЯ
«МОСКОВСКИЙ АВИАЦИОННЫЙ ИНСТИТУТ
(национальный исследовательский университет)»

ОТЧЕТ ПО КУРСОВОЙ РАБОТЕ

по дисциплине

«Стохастические модели процессов в телекоммуникационных сетях»

Студент: Каширин М.Н.

Группа: М8О-201М-21

Руководитель: Борисов А. В.

Оценка: _____

Дата: _____

Содержание

Постановка задачи	3
Теоретическая часть	3
Выполнение работы.....	6
Выводы	7

Постановка задачи

Цель оценки состояния состоит в том, чтобы восстановить состояние системы на основе измерений процесса, заданных моделью. Оценка состояния имеет важное применение в прогнозирующем управлении нелинейными моделями, а также в мониторинге, прогнозировании и обнаружении неисправностей химических процессов. Существует несколько подходов к оценке состояния в системах, моделируемых обыкновенными дифференциальными уравнениями. Они включают строгий вероятностный метод решения прямого уравнения Колмогорова (Фоккера-Планка), а также аппроксимативные методы, такие как кубатурная фильтрация Калмана (СКФ) и подходы, основанные на оптимизации, обычно называемые оценкой движущегося горизонта (МНЕ). Несомненно, фильтр Калмана является наиболее широко применяемой технологией оценки состояния для нелинейных систем и остается стандартной технологией оценки состояния в приложениях прогнозирующего управления нелинейными моделями. Кроме того, существуют систематические методы идентификации нелинейных моделей, используемых в непрерывно-дискретных фильтрах Калмана с расширенным временем.

Рассмотрим непрерывно-дискретную стохастическую нелинейную систему:

$$dx(t) = f(t, x(t))dt + \sigma(t)d\omega(t)$$

$$y_k = h(tk, x(tk)) + vk$$

Где $\{\omega(t), t \geq 0\}$ является стандартным Винеровским процессом.

В этом разделе мы тестируем разработанный расширенный алгоритм фильтра Калмана на реакции Ван дер Вюссе. Цель состоит в том, чтобы дать критическую оценку применению расширенного фильтра Калмана на основе ESDIRK. Мы демонстрируем ограничения, которые конфигурация датчика накладывает на качество оценки состояния и скорость его приближения к истинному значению.

- 1) Детально описать постановку задачи.
- 2) Детально описать систему наблюдения.
- 3) выписать вариант выбора сигма-точек и весов.
- 4) Алгоритм СКФ реализовывать в «корневом» варианте.
- 5) Представить графики с результатами.
- 6) По результатам сравнительных численных экспериментов сделать выводы.

Теоретическая часть

реакция Ван дер Вюссе состоит из четырех видов, обозначаемых А, В, С и D. Желаемым продуктом является В, в то время как С и D являются

нежелательными побочными продуктами. Эта реакция проводится в резервуарном реакторе с непрерывным перемешиванием (CSTR) со специальным охлаждением и моделируется следующими дифференциальными уравнениями:

$$\begin{aligned}
 c_A'(t) &= \frac{F}{V_R} [c_{A0} - c_A(t)] - k_{10} \exp\left\{-\frac{E_1}{RT}\right\} c_A(t) - k_{30} \exp\left\{-\frac{E_3}{RT}\right\} c_A^2(t), \\
 c_B'(t) &= -\frac{F}{V_R} c_B(t) + k_{10} \exp\left\{-\frac{E_1}{RT}\right\} c_A(t) - k_{20} \exp\left\{-\frac{E_2}{RT}\right\} c_B(t), \\
 T'(t) &= -\frac{F}{V_R} [T_0 - T'(t)] + \frac{k_\omega A_R}{\rho C_p V_R} [T_J(t) - T(t)] - [k_{10} \Delta H_{r1} \exp\left\{-\frac{E_1}{RT}\right\} c_A(t) \\
 &\quad + k_{20} \Delta H_{r2} \exp\left\{-\frac{E_2}{RT}\right\} c_B(t) + k_{30} \Delta H_{r3} \exp\left\{-\frac{E_3}{RT}\right\} c_A^2(t)] / [\rho C_p], \\
 T_J'(t) &= \frac{1}{m_J C_{PJ}} (\dot{Q}_J + k_\omega A_R [T(t) - T_J(t)]).
 \end{aligned}$$

Начальные значения дифференциальных уравнений задаются следующим образом:

$$c_A = 2.1404 \text{ mol/L}, c_B = 1.0903 \text{ mol/L}, T = 387.34 \text{ K}, T_J = 386.06 \text{ K}.$$

Детерминированная модель дополняется стохастическим членом $Gw(t)$, в котором:

$$G = 0.03 \begin{pmatrix} 2.1404 & 0 & 0 & 0 \\ 0 & 1.0903 & 0 & 0 \\ 0 & 0 & 387.34 & 0 \\ 0 & 0 & 0 & 386.06 \end{pmatrix}$$

а $w(t)$ обозначает гауссовский процесс белого шума с нулевым средним значением с единичной ковариационной матрицей надлежащего размера, т.е. с $Q \equiv I_4$. Предположим, что постоянный параметр c_{A0} увеличивается на 20% в момент времени $t = 4$ часа. Детерминированные и стохастические решения для этого примера Ван дер Вюссе вычисляются в интервале времени $[0, 10]$ часа.

Прежде всего, мы определяем эталонное решение (т.е. истинные состояния) для дифференциального уравнения, дополненное стохастическим членом $Gw(t)$, где матрица G , определенная с помощью метода Эйлера-Маруямы с фиксированным размером шага, равным 0,0001 часа. Затем мы применяем уравнение измерения:

$$y_k = \begin{pmatrix} T(t_k) \\ T_j(t_k) \end{pmatrix} + \vartheta_k.$$

где время выборки указывает $t_k = 0,01k$ ч, $k = 1, 2, \dots$, т.е. $\delta = 0,01$ ч в этом численном эксперименте, а шум измерения равен $v_k \sim N(0, R_k)$ с диагональной ковариационной матрицей $R_k = 0,003 \text{diag}\{387,34,386,06\}$, для генерации истории измерений для стохастической реакции Ван дер Вюссе в моменты выборки.

Оценка оптимальной фильтрации вычисляется с помощью следующего двухшагового алгоритма типа «прогноз-коррекция»:

1. Начальное условия:

$$\begin{aligned} \widehat{\pi}_0(x) &= \pi_0(x), \\ \widehat{X}_0 &= E[X_0|Y_0] = E[X_0] = \int_{R^N} x \pi_0(x) dx. \end{aligned}$$

2. Прогноз:

$$\widetilde{\pi}_t(x) = \int_{R^N} |\det^{-1}(b_t)| p_V(b_t^{-1}(x - a_t(u))) \widehat{\pi}_{t-1}(u) du,$$

$$\widetilde{X}_t = \int_{R^N} x \widetilde{\pi}_t(x) dx.$$

3. Коррекция:

$$\bar{\rho}_t(x, y) = \int_{R^N} |\det^{-1}(B_t(x))| p_W(B_t^{-1}(y - A_t(x))) \widetilde{\pi}_t(x),$$

$$\widehat{\pi}_t(x) = \frac{\bar{\rho}_t(x, Y_t)}{\int_{R^N} \bar{\rho}_t(u, Y_t) du},$$

$$\widehat{X}_t = \frac{1}{\int_{R^N} \bar{\rho}_t(\vartheta, Y_t) d\vartheta} \int_{R^N} u \bar{\rho}_t(u, Y_t) du.$$

Недостатки предлагаемого алгоритма:

- 1) Оцениваемый объект – бесконечномерный (условная плотность распределения), что влечет недопустимые вычислительные затраты.
- 2) Для вычисления оценки состояния необходимо выполнить дополнительную операцию интегрирования (9.8).
В то же время, алгоритм фильтрации Калмана тоже имеет двухшаговую структуру «прогноз-коррекция», но

3)

оценка описывается замкнутой конечномерной рекуррентной схемой, на шагах прогноза и коррекции вычисляются не вспомогательные объекты (плотности), а требуемые оценки, алгоритм одновременно вычисляет показатель точности полученной оценки.

Кубатурный фильтр Калмана (СКФ)

Фильтр отличается другим способом приближенного вычисления интегралов типа– квадратур Гаусса-Эрмита.

$$\int_{-\infty}^{\infty} f(x) \frac{1}{\sqrt{2\pi}} e^{-\frac{x^2}{2}} dx \approx \frac{1}{\sqrt{\pi}} \sum_{i=1}^n w_i f(\sqrt{2}x_i)$$

Выполнение работы

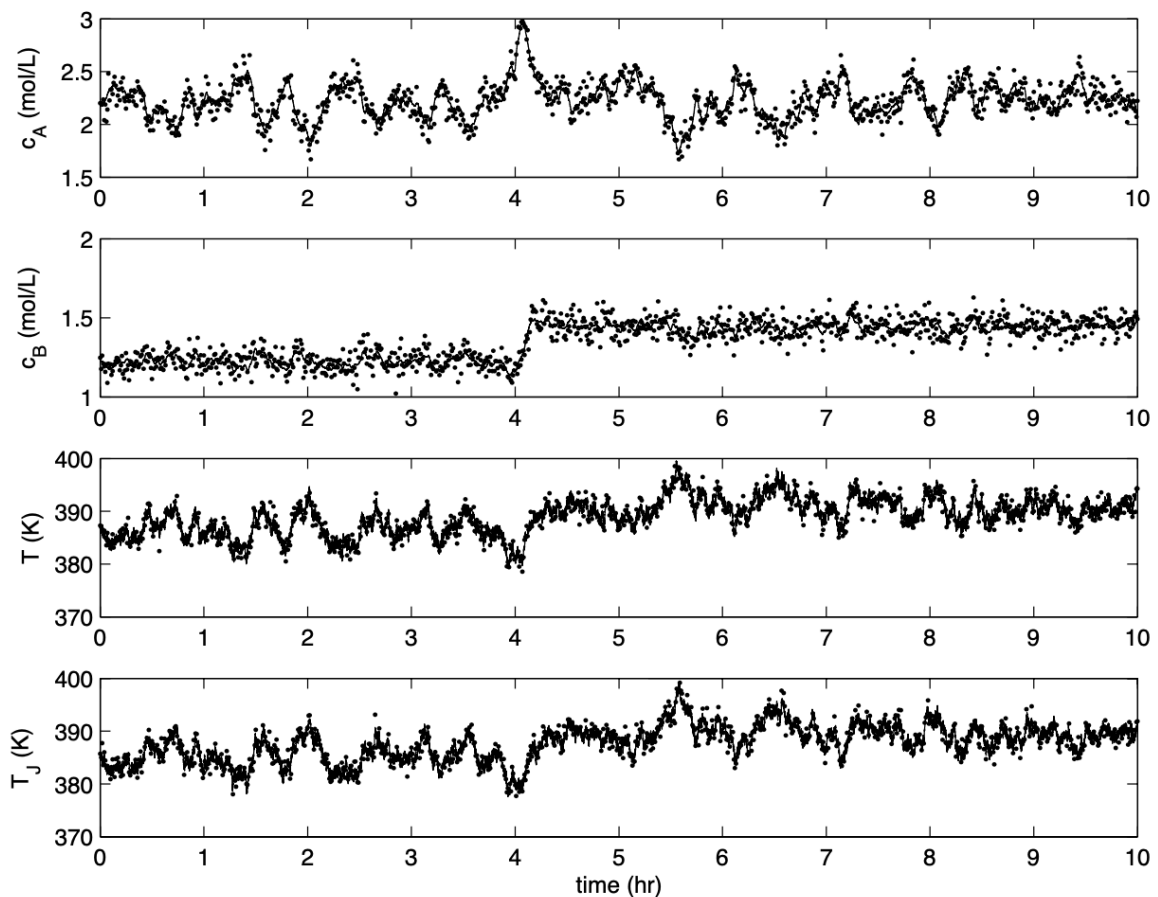


Рисунок 1. Измерения, искаженные шумом

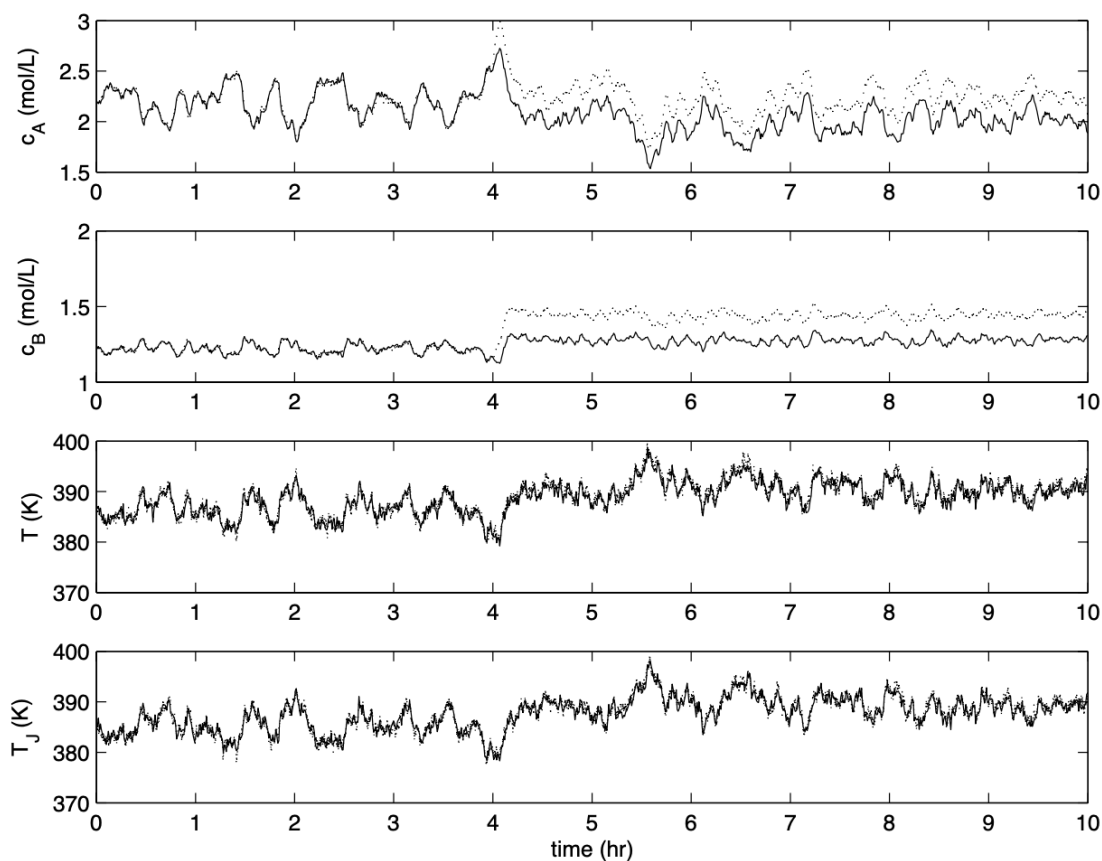


Рисунок 2. Оценки фильтра и истинные состояния (пунктирная линия) для случая с полной обратной связью по состоянию.

Выводы

В ходе выполнения курсовой работе были изучены алгоритмы фильтрации Калмана и их применение на прикладной задаче.

С помощью кубатурного фильтра Калмана была решена задача оптимальной фильтрации химического состояния концентрации вещества и температуры вещества.